

Esquema centrado, no conservativo y Q-esquema de van Leer aplicado en la ecuación de Burgers

Ampliación de Volúmenes Finitos
Máster en Matemática Industrial

Autores: Javier Rico Cabrera

Alberto Cuadra Lara

16 de mayo de 2018

Universidad de Santiago de Compostela
Universidad Carlos III de Madrid

Universidad da Coruña
Universidad Politécnica de Madrid

Universidad de Vigo



MÁSTER EN
MATEMÁTICA
INDUSTRIAL



Índice

Esquema centrado, no conservativo y Q-esquema de van Leer aplicado en la ecuación de Burgers

J. Rico Cabrera
A. Cuadra Lara

Introducción

Problema de estudio

Ecuación de Burgers
Solución exacta

Esquemas numéricos

Esquemas conservativos
Esquema centrado
Esquema no conservativo
Q-esquema de van Leer

Análisis de los esquemas

Resultados

Conclusiones

Bibliografía

Introducción

Problema de estudio

Ecuación de Burgers
Solución exacta

Esquemas numéricos

Esquemas conservativos
Esquema centrado
Esquema no conservativo
Q-esquema de van Leer

Análisis de los esquemas

Resultados

Conclusiones

Bibliografía

M2i
Universidad de Santiago de Compostela
Universidad da Coruña
Universidad de Vigo
Universidad Carlos III de Madrid
Universidad Politécnica de Madrid



Problema de estudio

Ecuación de Burgers

Esquema centrado, no conservativo y Q-esquema de van Leer aplicado en la ecuación de Burgers

J. Rico Cabrera
A. Cuadra Lara

Introducción

Problema de estudio

Ecuación de Burgers

Solución exacta

Esquemas numéricos

Esquemas conservativos

Esquema centrado

Esquema no conservativo

Q-esquema de van Leer

Análisis de los esquemas

Resultados

Conclusiones

Bibliografía

M2i
Universidad de Santiago de Compostela
Universidad da Coruña
Universidad de Vigo
Universidad Carlos III de Madrid
Universidad Politécnica de Madrid

Ecuación de Burgers:

$$\frac{\partial w}{\partial t} + \frac{\partial}{\partial x} \left(\frac{w^2}{2} \right) = 0 \quad (1)$$

donde w es la variable conservativa. El término $\frac{w^2}{2}$ representa la función de flujo, denotada como $f(w)$.



Problema de estudio

Ecuación de Burgers

Esquema centrado, no conservativo y Q-esquema de van Leer aplicado en la ecuación de Burgers

J. Rico Cabrera
A. Cuadra Lara

Introducción

Problema de estudio

Ecuación de Burgers

Solución exacta

Esquemas numéricos

Esquemas conservativos

Esquema centrado

Esquema no conservativo

Q-esquema de van Leer

Análisis de los esquemas

Resultados

Conclusiones

Bibliografía

M2i

Universidad de Santiago de Compostela

Universidad da Coruña

Universidad de Vigo

Universidad Carlos III de Madrid

Universidad Politécnica de Madrid

2

21

Ecuación de Burgers:

$$\frac{\partial w}{\partial t} + \frac{\partial}{\partial x} \left(\frac{w^2}{2} \right) = 0 \quad (1)$$

donde w es la variable conservativa. El término $\frac{w^2}{2}$ representa la función de flujo, denotada como $f(w)$.

Condiciones iniciales:

$$w_0(x) = \begin{cases} 1 & \text{si } x < 0, \\ 1 - x & \text{si } 0 \leq x < 1, \\ 0 & \text{si } x > 1. \end{cases} \quad (2)$$



Problema de estudio

Solución exacta $t < t_b$

Esquema centrado, no conservativo y Q-esquema de van Leer aplicado en la ecuación de Burgers

J. Rico Cabrera
A. Cuadra Lara

1. Problema de Cauchy.

Introducción

Problema de estudio

Ecuación de Burgers

Solución exacta

3

Esquemas numéricos

Esquemas conservativos

Esquema centrado

Esquema no conservativo

Q-esquema de van Leer

Análisis de los esquemas

Resultados

Conclusiones

Bibliografía

M2i

Universidad de Santiago de Compostela

Universidad da Coruña

Universidad de Vigo

Universidad Carlos III de Madrid

Universidad Politécnica de Madrid

21



Problema de estudio

Solución exacta $t < t_b$

Esquema centrado, no conservativo y Q-esquema de van Leer aplicado en la ecuación de Burgers

J. Rico Cabrera
A. Cuadra Lara

Introducción

Problema de estudio

Ecuación de Burgers

Solución exacta

3

Esquemas numéricos

Esquemas conservativos

Esquema centrado

Esquema no conservativo

Q-esquema de van Leer

Análisis de los esquemas

Resultados

Conclusiones

Bibliografía

M2i

Universidad de Santiago de Compostela

Universidad da Coruña

Universidad de Vigo

Universidad Carlos III de Madrid

Universidad Politécnica de Madrid

21

1. **Problema de Cauchy.**
2. Cálculo del tiempo crítico t_b .



Problema de estudio

Solución exacta $t < t_b$

Esquema centrado, no conservativo y Q-esquema de van Leer aplicado en la ecuación de Burgers

J. Rico Cabrera
A. Cuadra Lara

Introducción

Problema de estudio

Ecuación de Burgers
Solución exacta

3

Esquemas numéricos

Esquemas conservativos
Esquema centrado
Esquema no conservativo
Q-esquema de van Leer

Análisis de los esquemas

Resultados

Conclusiones

Bibliografía

M2i

Universidad de Santiago de Compostela
Universidad da Coruña
Universidad de Vigo
Universidad Carlos III de Madrid
Universidad Politécnica de Madrid

21

1. **Problema de Cauchy.**
2. Cálculo del tiempo crítico t_b .
3. Solución exacta para $t < t_b$



Problema de estudio

Solución exacta $t < t_b$

Esquema centrado, no conservativo y Q-esquema de van Leer aplicado en la ecuación de Burgers

J. Rico Cabrera
A. Cuadra Lara

Introducción

Problema de estudio

Ecuación de Burgers
Solución exacta

3

Esquemas numéricos

Esquemas conservativos
Esquema centrado
Esquema no conservativo
Q-esquema de van Leer

Análisis de los esquemas

Resultados

Conclusiones

Bibliografía

M2i
Universidad de Santiago de Compostela
Universidad da Coruña
Universidad de Vigo
Universidad Carlos III de Madrid
Universidad Politécnica de Madrid

21

1. **Problema de Cauchy.**

2. Cálculo del tiempo crítico t_b .

3. Solución exacta para $t < t_b \rightarrow \left\{ \begin{array}{l} \text{Método de las} \\ \text{características.} \end{array} \right.$



Problema de estudio

Solución exacta $t < t_b$

Esquema centrado, no conservativo y Q-esquema de van Leer aplicado en la ecuación de Burgers

J. Rico Cabrera
A. Cuadra Lara

Introducción

Problema de estudio

Ecuación de Burgers
Solución exacta

3

Esquemas numéricos

Esquemas conservativos
Esquema centrado
Esquema no conservativo
Q-esquema de van Leer

Análisis de los esquemas

Resultados

Conclusiones

Bibliografía

M2i

Universidad de Santiago de Compostela
Universidad da Coruña
Universidad de Vigo
Universidad Carlos III de Madrid
Universidad Politécnica de Madrid

21

1. Problema de Cauchy.

2. Cálculo del tiempo crítico t_b .

3. Solución exacta para $t < t_b \rightarrow$ $\left\{ \begin{array}{l} \text{Método de las} \\ \text{características.} \end{array} \right.$

4. Solución exacta:

$$w(x, t) = \begin{cases} w_l & x \leq t \leq t_b, \\ \frac{w_l - x}{t_b - t} & t \leq x \leq t_b, \\ w_r & x \geq x_b, t \leq t_b. \end{cases} \quad (3)$$

5. $t = t_b \rightarrow$ origen discontinuidad \rightarrow **Problema de Riemann.**



Problema de estudio

Solución exacta $t \geq t_b$

Esquema centrado, no conservativo y Q-esquema de van Leer aplicado en la ecuación de Burgers

J. Rico Cabrera
A. Cuadra Lara

Introducción

Problema de estudio

Ecuación de Burgers
Solución exacta

4

Esquemas numéricos

Esquemas conservativos
Esquema centrado
Esquema no conservativo
Q-esquema de van Leer

Análisis de los esquemas

Resultados

Conclusiones

Bibliografía

M2i

Universidad de Santiago de Compostela
Universidad da Coruña
Universidad de Vigo
Universidad Carlos III de Madrid
Universidad Politécnica de Madrid

21

1. Condiciones iniciales asociadas al problema de Riemann:

$$w_0(x) = \begin{cases} w_l & \text{si } x < 0, \\ w_r & \text{si } x > 0, \end{cases} \quad (4)$$



Problema de estudio

Solución exacta $t \geq t_b$

Esquema centrado, no conservativo y Q-esquema de van Leer aplicado en la ecuación de Burgers

J. Rico Cabrera
A. Cuadra Lara

Introducción

Problema de estudio

Ecuación de Burgers
Solución exacta

4

Esquemas numéricos

Esquemas conservativos
Esquema centrado
Esquema no conservativo
Q-esquema de van Leer

Análisis de los esquemas

Resultados

Conclusiones

Bibliografía

M2i

Universidad de Santiago de Compostela
Universidad da Coruña
Universidad de Vigo
Universidad Carlos III de Madrid
Universidad Politécnica de Madrid

21

1. Condiciones iniciales asociadas al problema de Riemann:

$$w_0(x) = \begin{cases} w_l & \text{si } x < 0, \\ w_r & \text{si } x > 0, \end{cases} \quad (4)$$

2. Solución exacta:

$$w_{j+\frac{1}{2}}(0) = \left\{ \begin{array}{ll} w_j^n & s \geq 0, \\ w_{j+1}^n & s < 0, \\ s = \frac{1}{2} (w_j^n + w_{j+1}^n) & \end{array} \right\} \quad \boxed{w_l > w_r}$$

$$\left\{ \begin{array}{ll} w_j^n & 0 \leq w_j^n, \\ 0 & w_j^n \leq 0 \leq w_{j+1}^n, \\ w_{j+1}^n & 0 \geq w_{j+1}^n. \end{array} \right\} \quad \boxed{w_l < w_r}$$

(5)



Problema de estudio

Solución exacta $t \geq t_b$

Esquema centrado, no conservativo y Q-esquema de van Leer aplicado en la ecuación de Burgers

J. Rico Cabrera
A. Cuadra Lara

Introducción

Problema de estudio

Ecuación de Burgers
Solución exacta

5

Esquemas numéricos

Esquemas conservativos
Esquema centrado
Esquema no conservativo
Q-esquema de van Leer

Análisis de los esquemas

Resultados

Conclusiones

Bibliografía

M2i

Universidad de Santiago de Compostela
Universidad da Coruña
Universidad de Vigo
Universidad Carlos III de Madrid
Universidad Politécnica de Madrid

21

Solución en función del valor de los estados:

1. Supersónico: $w_l > 0, w_r > 0$.
2. Subsónico: $w_l < 0, w_r < 0$.
3. Expansión transónica: $w_l \leq 0 \leq w_r$.
4. Choque transónico:
 - a) $w_l > s > 0 > w_r$,
 - b) $w_l \geq 0 > s > w_r$.
5. Choque estacionario:

$$w_l > s = 0 > w_r \rightarrow s = \frac{1}{2}(w_l + w_r) \rightarrow w_r = -w_l. \quad (6)$$



Problema de estudio

Solución exacta $t \in [0, 1, 5]$

Esquema centrado, no conservativo y Q-esquema de van Leer aplicado en la ecuación de Burgers

J. Rico Cabrera
A. Cuadra Lara

Introducción

Problema de estudio

Ecuación de Burgers
Solución exacta

6

Esquemas numéricos

Esquemas conservativos
Esquema centrado
Esquema no conservativo
Q-esquema de van Leer

Análisis de los esquemas

Resultados

Conclusiones

Bibliografía

M2i
Universidad de Santiago de Compostela
Universidad da Coruña
Universidad de Vigo
Universidad Carlos III de Madrid
Universidad Politécnica de Madrid

21

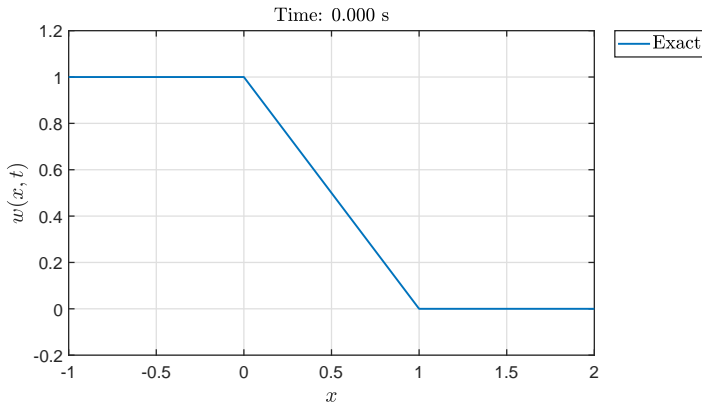


Figura 1: Solución exacta ecuación de Burgers con condiciones iniciales dadas por la Ec. 2. Rango: $x \in [-1, 2]$, $t \in [0, 1, 5]$.



Esquemas numéricos

Esquemas conservativos

Esquema centrado, no conservativo y Q-esquema de van Leer aplicado en la ecuación de Burgers

J. Rico Cabrera
A. Cuadra Lara

Introducción

Problema de estudio

Ecuación de Burgers
Solución exacta

Esquemas numéricos

Esquemas conservativos

Esquema centrado

Esquema no conservativo

Q-esquema de van Leer

Análisis de los esquemas

Resultados

Conclusiones

Bibliografía

M2i

Universidad de Santiago de Compostela

Universidad da Coruña

Universidad de Vigo

Universidad Carlos III de Madrid

Universidad Politécnica de Madrid

7

21

Un esquema conservativo para la ley de conservación escalar

$$\frac{\partial w}{\partial t} + \frac{\partial}{\partial x}(f(w)) = 0, \quad (7)$$

es de la forma

$$w_j^{n+1} = w_j^n + \frac{\Delta t}{\Delta x} \left(f_{j-\frac{1}{2}}^n - f_{j+\frac{1}{2}}^n \right), \quad (8)$$

es decir, en el instante $n + 1$ en j , se tiene lo que entra en la celda (volumen finito) por la izquierda, menos lo que sale por la derecha.



Esquemas numéricos

Esquemas conservativos

Esquema centrado, no conservativo y Q-esquema de van Leer aplicado en la ecuación de Burgers

J. Rico Cabrera
A. Cuadra Lara

Introducción

Problema de estudio

Ecuación de Burgers
Solución exacta

Esquemas numéricos

Esquemas conservativos
Esquema centrado
Esquema no conservativo
Q-esquema de van Leer

Análisis de los esquemas

Resultados

Conclusiones

Bibliografía

8

El término $f_{j+\frac{1}{2}}^n$ se define como

$$f_{j+\frac{1}{2}}^n = f_{j+\frac{1}{2}}^n(w_{j-l_1}^n, \dots, w_{j+l_2}^n), \quad (9)$$

y es una aproximación del flujo físico $f(w)$. Siendo l_1 y l_2 dos enteros no negativos que nos indican cuantos vecinos aguas arriba y abajo, respectivamente, involucramos en la aproximación de la solución.

En el caso de estudio $l_1 = 0, l_2 = 1$, quedando

$$f_{j+\frac{1}{2}}^n = f_{j+\frac{1}{2}}^n(w_j^n, w_{j+1}^n), \quad (10)$$

es decir, involucramos sólo al vecino próximo a izquierda y derecha de la celda evaluada.

21



Esquemas numéricos

Esquema centrado

Esquema centrado, no conservativo y Q-esquema de van Leer aplicado en la ecuación de Burgers

J. Rico Cabrera
A. Cuadra Lara

Introducción

Problema de estudio

Ecuación de Burgers
Solución exacta

Esquemas numéricos

Esquemas conservativos
Esquema centrado
Esquema no conservativo
Q-esquema de van Leer

Análisis de los esquemas

Resultados

Conclusiones

Bibliografía

9

Esquema centrado

Por analogía, se obtiene el siguiente flujo numérico

$$\phi(w_{j-1}^n, w_j^n) = \frac{1}{2} w_{j-1}^n w_j^n. \quad (11)$$

$$\text{Consistencia: } \phi(\bar{w}, \bar{w}) = \frac{\bar{w}^2}{2} = \frac{\bar{w}^2}{2} = f(\bar{w}). \quad (12)$$

Para su demostración, basta con inyectar la ecuación anterior en

$$w_j^{n+1} = w_j^n - \frac{\Delta t}{\Delta x} [\phi(w_j^n, w_{j+1}^n) - \phi(w_{j-1}^n, w_j^n)], \quad (13)$$

obteniendo

$$w_j^{n+1} = w_j^n - \frac{\Delta t}{2\Delta x} w_j^n (w_{j+1}^n - w_{j-1}^n), \quad (14)$$

que es el esquema centrado para la ecuación de Burgers.

21



Esquemas numéricos

Esquema centrado

Esquema centrado, no conservativo y Q-esquema de van Leer aplicado en la ecuación de Burgers

J. Rico Cabrera
A. Cuadra Lara

Introducción

Problema de estudio

Ecuación de Burgers
Solución exacta

Esquemas numéricos

Esquemas conservativos
Esquema centrado
Esquema no conservativo
Q-esquema de van Leer

10

Análisis de los esquemas

Resultados

Conclusiones

Bibliografía

M2i
Universidad de Santiago de Compostela
Universidad da Coruña
Universidad de Vigo
Universidad Carlos III de Madrid
Universidad Politécnica de Madrid

21

Esquema centrado

- ▶ Conservativo.
- ▶ Consistente.
- ▶ Incondicionalmente inestable.



Esquemas numéricos

Esquema no conservativo

Esquema centrado, no conservativo y Q-esquema de van Leer aplicado en la ecuación de Burgers

J. Rico Cabrera
A. Cuadra Lara

Introducción

Problema de estudio

Ecuación de Burgers
Solución exacta

Esquemas numéricos

Esquemas conservativos
Esquema centrado

Esquema no conservativo
Q-esquema de van Leer

11

Análisis de los esquemas

Resultados

Conclusiones

Bibliografía

M2i
Universidad de Santiago de Compostela
Universidad da Coruña
Universidad de Vigo
Universidad Carlos III de Madrid
Universidad Politécnica de Madrid

21

Esquema no conservativo

$$\begin{cases} w_j^{n+1} = w_j^n - \frac{\Delta t}{\Delta x} w_j^n (w_j^n - w_{j-1}^n), & w_j^n \geq 0. \\ w_j^{n+1} = w_j^n - \frac{\Delta t}{\Delta x} w_j^n (w_{j+1}^n - w_j^n), & w_j^n \leq 0. \end{cases} \quad (15)$$

- ▶ No conservativo (no existe función flujo numérico).
- ▶ Inconsistente.



Esquemas numéricos

Q-esquema

Esquema centrado, no conservativo y Q-esquema de van Leer aplicado en la ecuación de Burgers

J. Rico Cabrera
A. Cuadra Lara

Introducción

Problema de estudio

Ecuación de Burgers
Solución exacta

Esquemas numéricos

Esquemas conservativos
Esquema centrado
Esquema no conservativo
Q-esquema de van Leer

Análisis de los esquemas

Resultados

Conclusiones

Bibliografía

M2i

Universidad de Santiago de Compostela
Universidad da Coruña
Universidad de Vigo
Universidad Carlos III de Madrid
Universidad Politécnica de Madrid

12

21

Q-esquema

Flujo numérico:

$$\phi(w_l, w_r) = \frac{f(w_l) + f(w_r)}{2} - \underbrace{\frac{1}{2}|Q(w_j, w_r)|(w_r - w_l)|}_{\text{Viscosidad numérica}}, \quad (16)$$

donde Q es la matriz Jacobiana evaluada en la media de los estados a derecha e izquierda w_r y w_l , respectivamente.

Consistencia:

$$\phi(\bar{w}, \bar{w}) = \frac{\overline{w^2}}{2} = f(\bar{w}). \quad (17)$$



Esquemas numéricos

Q-esquema

Esquema centrado, no conservativo y Q-esquema de van Leer aplicado en la ecuación de Burgers

J. Rico Cabrera
A. Cuadra Lara

Introducción

Problema de estudio

Ecuación de Burgers
Solución exacta

Esquemas numéricos

Esquemas conservativos
Esquema centrado
Esquema no conservativo
Q-esquema de van Leer

13

Análisis de los esquemas

Resultados

Conclusiones

Bibliografía

M2i
Universidad de Santiago de Compostela
Universidad da Coruña
Universidad de Vigo
Universidad Carlos III de Madrid
Universidad Politécnica de Madrid

21

Inyectando la ecuación anterior en la ecuación del esquema conservativo Ec. 8 se obtiene

$$w_j^{n+1} = w_j^n - \underbrace{\frac{1}{4} \frac{\Delta t}{\Delta x} (w_{j+1}^{n,2} - w_{j-1}^{n,2})}_{c_f} + d_m - d_n, \quad (18)$$

donde d representa la viscosidad numérica definida:

$$d_m = \frac{1}{4} \frac{\Delta t}{\Delta x} |w_j^n + w_{j+1}^n| (w_{j+1}^n - w_j^n), \quad (19)$$

$$d_n = \frac{1}{4} \frac{\Delta t}{\Delta x} |w_j^n + w_{j-1}^n| (w_j^n - w_{j-1}^n). \quad (20)$$



Esquemas numéricos

Q-esquema

Esquema centrado, no conservativo y Q-esquema de van Leer aplicado en la ecuación de Burgers

J. Rico Cabrera
A. Cuadra Lara

Introducción

Problema de estudio

Ecuación de Burgers
Solución exacta

Esquemas numéricos

Esquemas conservativos
Esquema centrado
Esquema no conservativo
Q-esquema de van Leer

14

Análisis de los esquemas

Resultados

Conclusiones

Bibliografía

21

Q-esquema:

- ▶ Conservativo.
- ▶ Consistente.
- ▶ Condicionalmente estable.
- ▶ Esquema no entrópico.



Análisis de los esquemas

Análisis de estabilidad de von Neumann y la condición CFL

Esquema centrado, no conservativo y Q-esquema de van Leer aplicado en la ecuación de Burgers

J. Rico Cabrera
A. Cuadra Lara

Introducción

Problema de estudio

Ecuación de Burgers
Solución exacta

Esquemas numéricos

Esquemas conservativos
Esquema centrado
Esquema no conservativo
Q-esquema de van Leer

Análisis de los esquemas

Resultados

Conclusiones

Bibliografía

15

21

Análisis de von Neumann para el Q-esquema de van Leer asociado a la ecuación de transporte:

$$\frac{\partial w}{\partial t} + \lambda \frac{\partial w}{\partial x} = 0. \quad (21)$$

Flujo numérico:

$$\text{Para } \lambda > 0 \begin{cases} \phi(w_j^n, w_{j+1}^n) = \lambda w_j^n, \\ \phi(w_{j-1}^n, w_j^n) = \lambda w_{j-1}^n. \end{cases} \quad (22)$$

$$\text{Para } \lambda < 0 \begin{cases} \phi(w_j^n, w_{j+1}^n) = \lambda w_{j+1}^n, \\ \phi(w_{j-1}^n, w_j^n) = \lambda w_j^n. \end{cases} \quad (23)$$



Análisis de los esquemas

Análisis de estabilidad de von Neumann y la condición CFL

Esquema centrado, no conservativo y Q-esquema de van Leer aplicado en la ecuación de Burgers

J. Rico Cabrera
A. Cuadra Lara

Introducción

Problema de estudio

Ecuación de Burgers
Solución exacta

Esquemas numéricos

Esquemas conservativos
Esquema centrado
Esquema no conservativo
Q-esquema de van Leer

Análisis de los esquemas

Resultados

Conclusiones

Bibliografía

16

21

Solución del Q-esquema para la ecuación del transporte

$$w_j^{n+1} = w_j^n - \mu (w_j^n - w_{j-1}^n), \quad \boxed{\lambda > 0.} \quad (24)$$

$$w_j^{n+1} = w_j^n - \mu (w_{j+1}^n - w_j^n), \quad \boxed{\lambda < 0.} \quad (25)$$



Análisis de los esquemas

Análisis de estabilidad de von Neumann y la condición CFL

Esquema centrado, no conservativo y Q-esquema de van Leer aplicado en la ecuación de Burgers

J. Rico Cabrera
A. Cuadra Lara

Introducción

Problema de estudio

Ecuación de Burgers
Solución exacta

Esquemas numéricos

Esquemas conservativos
Esquema centrado
Esquema no conservativo
Q-esquema de van Leer

Análisis de los esquemas

Resultados

Conclusiones

Bibliografía

17

21

Un esquema en diferencias es un espacio L^2 estable, si y sólo si sus factores de amplificación $g(k, \Delta x, \Delta t)$ verifican

$$|g(k, \Delta x, \Delta t)| \leq 1, \quad \forall k, \quad (26)$$

siendo

$$g(k, \Delta x, \Delta t) = \sum_{l=-1}^{l=1} c_l e^{ikl\Delta x} = \frac{\hat{w}^{n+1}(k)}{\hat{w}^n(k)}. \quad (27)$$

$$\boxed{\lambda > 0} \begin{cases} c_{-1} = \mu, \\ c_0 = 1 - \mu, \\ c_1 = 0. \end{cases} \quad (28)$$

$$\boxed{\lambda < 0} \begin{cases} c_{-1} = 0, \\ c_0 = 1 + \mu, \\ c_1 = -\mu. \end{cases} \quad (29)$$



Análisis de los esquemas

Análisis de estabilidad de von Neumann y la condición CFL

Esquema centrado, no conservativo y Q-esquema de van Leer aplicado en la ecuación de Burgers

J. Rico Cabrera
A. Cuadra Lara

Introducción

Problema de estudio

Ecuación de Burgers
Solución exacta

Esquemas numéricos

Esquemas conservativos
Esquema centrado
Esquema no conservativo
Q-esquema de van Leer

Análisis de los esquemas

Resultados

Conclusiones

Bibliografía

18

Injectando los coeficientes anteriores en la Ec.26 se obtiene la siguiente condición de estabilidad

$$-2|\mu|(1 - |\mu|)(1 - \cos(k\Delta x)) \leq 0 \rightarrow |\mu| \leq 1. \quad (30)$$

Por tanto, para $\mu \leq 1$ se satisface la condición de estabilidad, lo que implica un esquema condicionalmente estable.

21



Resultados

Esquema centrado, no conservativo y Q-esquema de van Leer aplicado en la ecuación de Burgers

J. Rico Cabrera
A. Cuadra Lara

Introducción

Problema de estudio

Ecuación de Burgers
Solución exacta

Esquemas numéricos

Esquemas conservativos
Esquema centrado
Esquema no conservativo
Q-esquema de van Leer

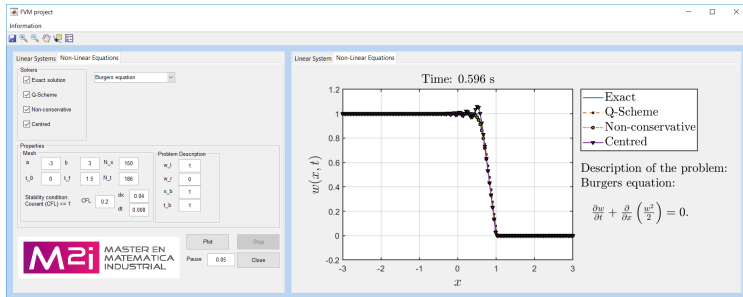
Análisis de los esquemas

Resultados

Conclusiones

Bibliografía

19



Matlab

21



Conclusiones

Esquema centrado, no conservativo y Q-esquema de van Leer aplicado en la ecuación de Burgers

J. Rico Cabrera
A. Cuadra Lara

Introducción

Problema de estudio

Ecuación de Burgers
Solución exacta

Esquemas numéricos

Esquemas conservativos
Esquema centrado
Esquema no conservativo
Q-esquema de van Leer

Análisis de los esquemas

Resultados

Conclusiones

Bibliografía

20

21

- Para capturar las soluciones entrópicas en el Q-esquema es necesario *enseñar* al método a mantener siempre un mínimo de viscosidad numérica.

M2i

Universidad de Santiago de Compostela
Universidad da Coruña
Universidad de Vigo
Universidad Carlos III de Madrid
Universidad Politécnica de Madrid



Conclusiones

Esquema centrado, no conservativo y Q-esquema de van Leer aplicado en la ecuación de Burgers

J. Rico Cabrera
A. Cuadra Lara

Introducción

Problema de estudio

Ecuación de Burgers
Solución exacta

Esquemas numéricos

Esquemas conservativos
Esquema centrado
Esquema no conservativo
Q-esquema de van Leer

Análisis de los esquemas

Resultados

Conclusiones

Bibliografía

20

- ▶ Para capturar las soluciones entrópicas en el Q-esquema es necesario *enseñar* al método a mantener siempre un mínimo de viscosidad numérica.
- ▶ Los esquemas centrados y no conservativos no capturan los resultados de manera satisfactoria a partir de las discontinuidades.

21

M2i
Universidad de Santiago
de Compostela
Universidad da Coruña
Universidad de Vigo
Universidad Carlos III
de Madrid
Universidad Politécnica
de Madrid



Bibliografía I

Esquema centrado, no conservativo y Q-esquema de van Leer aplicado en la ecuación de Burgers

J. Rico Cabrera
A. Cuadra Lara

Introducción

Problema de estudio

Ecuación de Burgers
Solución exacta

Esquemas numéricos

Esquemas conservativos
Esquema centrado
Esquema no conservativo
Q-esquema de van Leer

Análisis de los esquemas

Resultados

Conclusiones

Bibliografía

21

M2i
Universidad de Santiago de Compostela
Universidad da Coruña
Universidad de Vigo
Universidad Carlos III de Madrid
Universidad Politécnica de Madrid

21

- [1] M. E. VÁZQUEZ CENDÓN. Introducción al método de volúmenes finitos. 2008. Universidad de Santiago de Compostela. Servicio de Publicaciones e Intercambio Científico.
- [2] M. E. VÁZQUEZ CENDÓN. Solving Hyperbolic Equations with Finite Volume Methods. 2015. Springer.
- [3] E. GODLEWSKI AND P. A. RAVIART. Numerical Approximation of Hyperbolic systems of conservation laws.
- [4] E.F. TORO. Numerica. 2000. URL: "<https://eleuteriotoro.com/software/>".

¡Gracias por su atención!